

(a) 測定位置

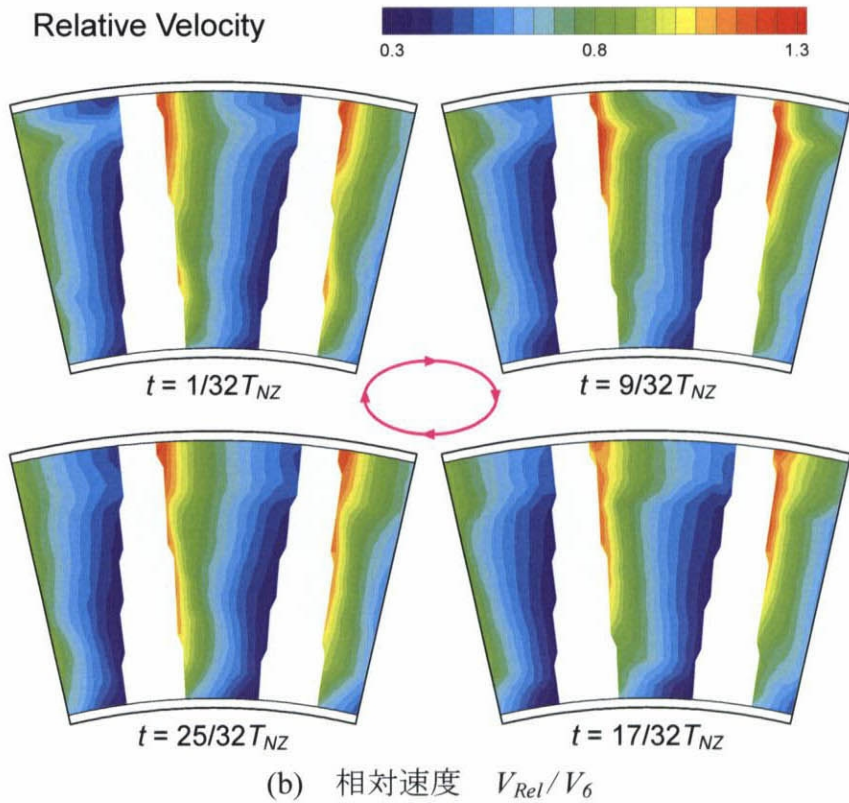


図 8.14 動翼内部の非定常流れ (相対座標系, その1)
(測定面 19, 軸方向位置 $Z/C_{ax,RT} = 0.381$)

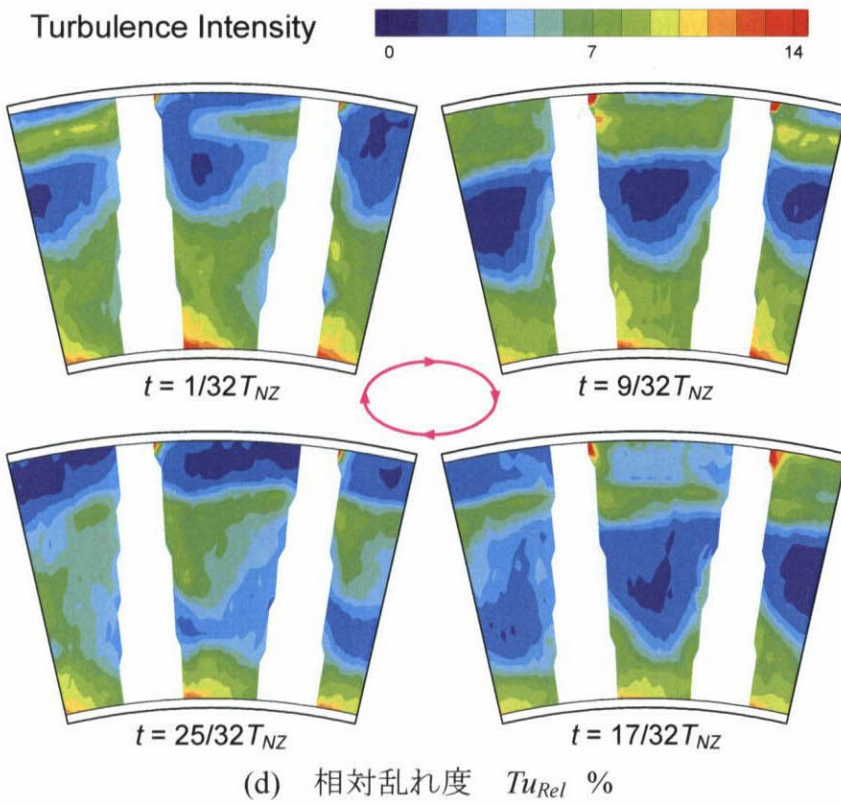
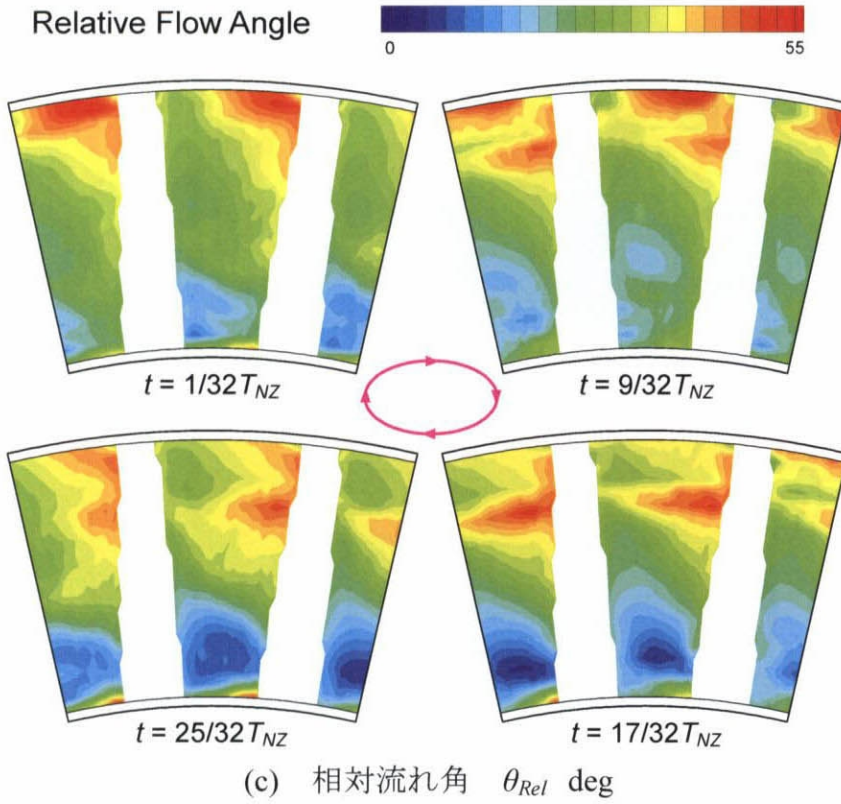
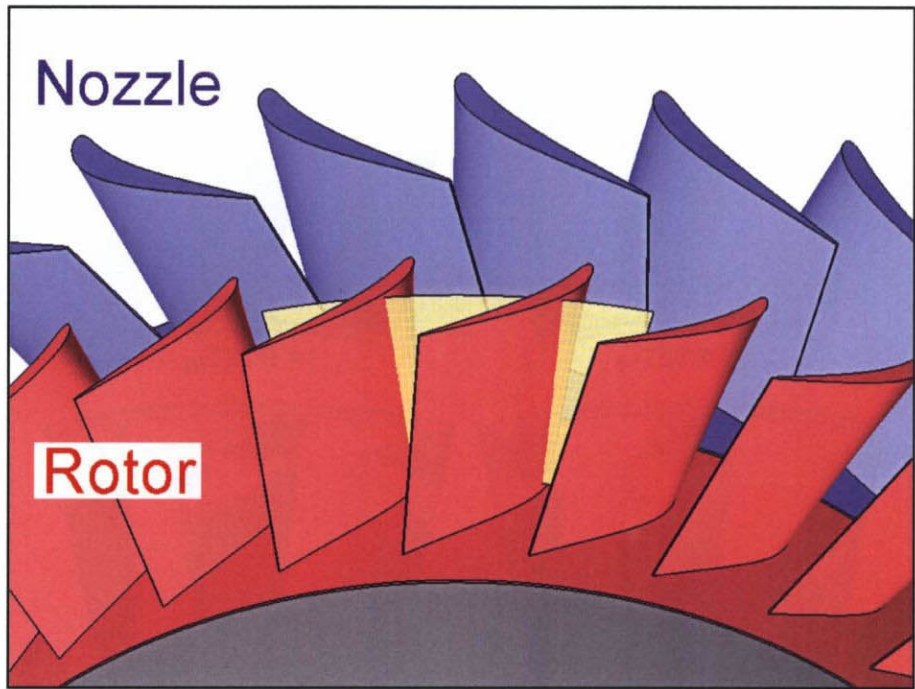
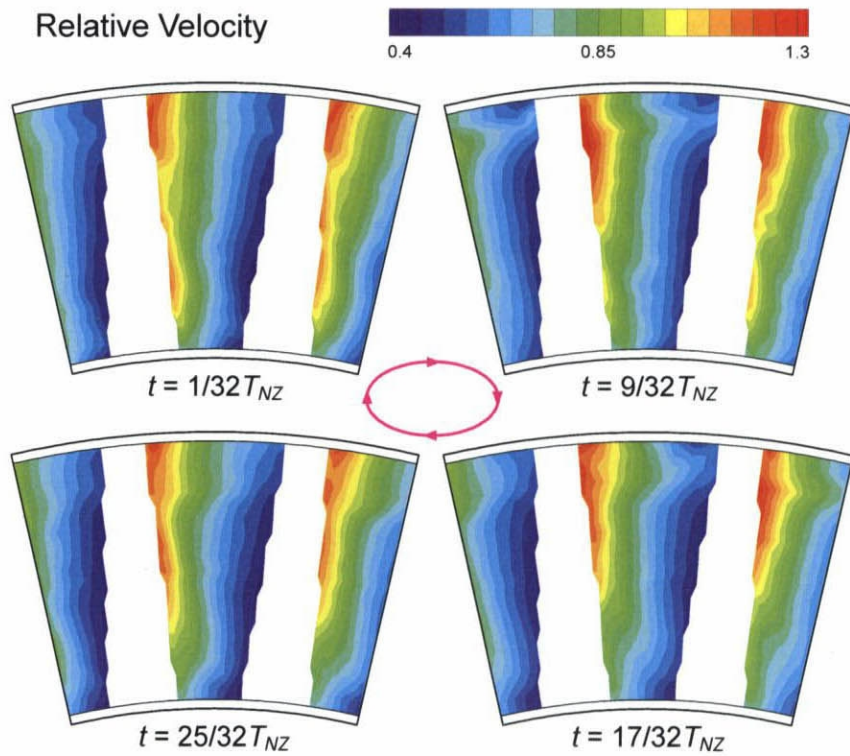


図 8.14 動翼内部の非定常流れ (相対座標系, その2)
(測定面 19, 軸方向位置 $Z/C_{ax,RT} = 0.381$)



(a) 測定位置



(b) 相対速度 V_{Rel}/V_6

図 8.15 動翼内部の非定常流れ (相対座標系, その1)
(測定面 21, 軸方向位置 $Z/C_{ax,RT} = 0.479$)

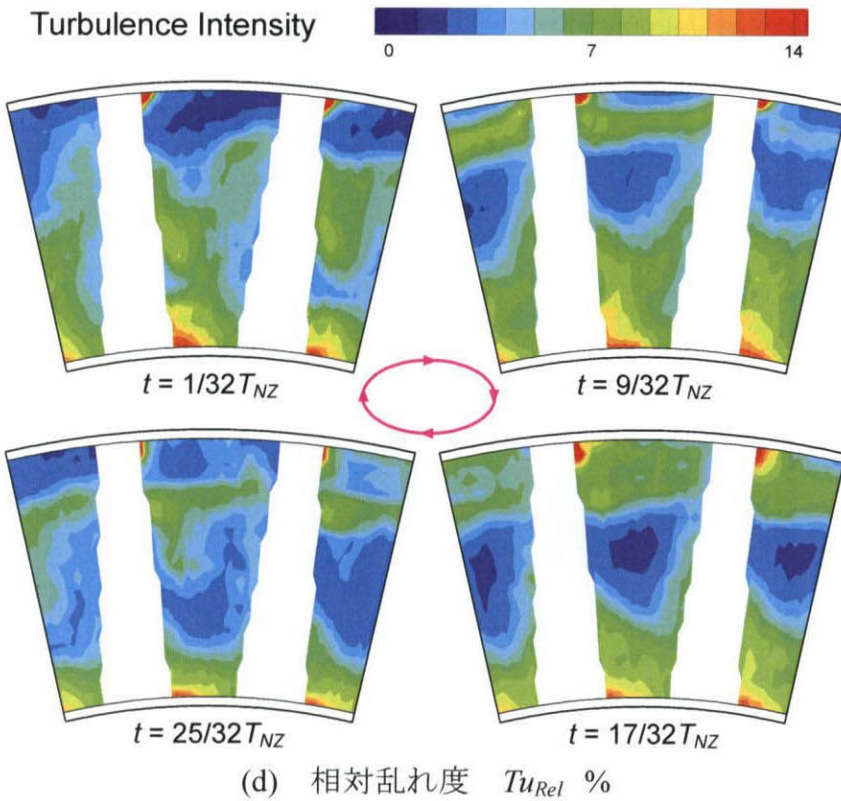
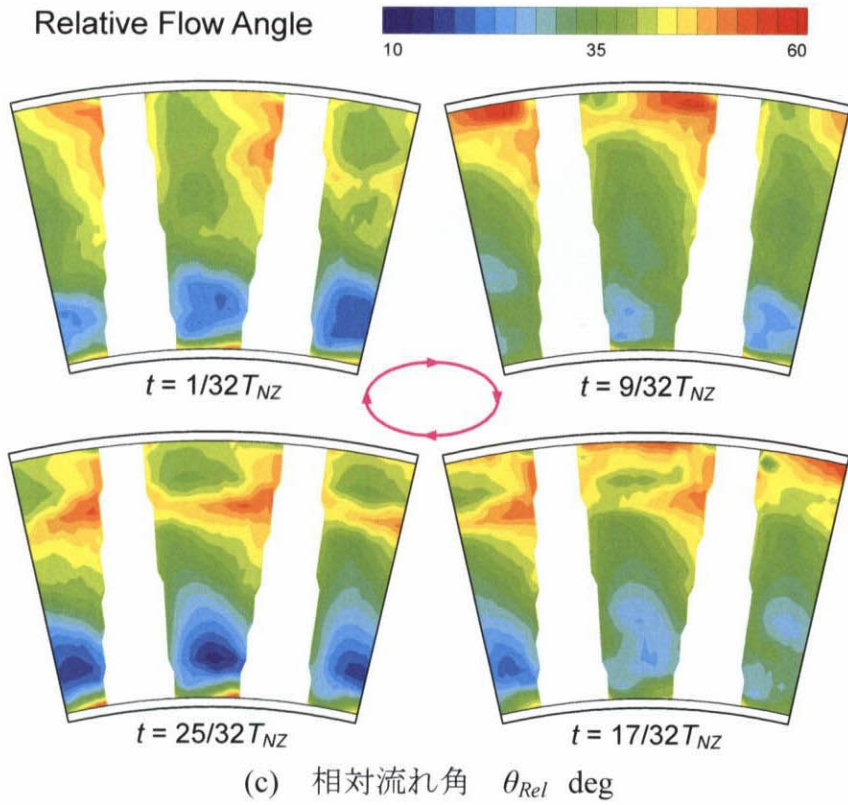
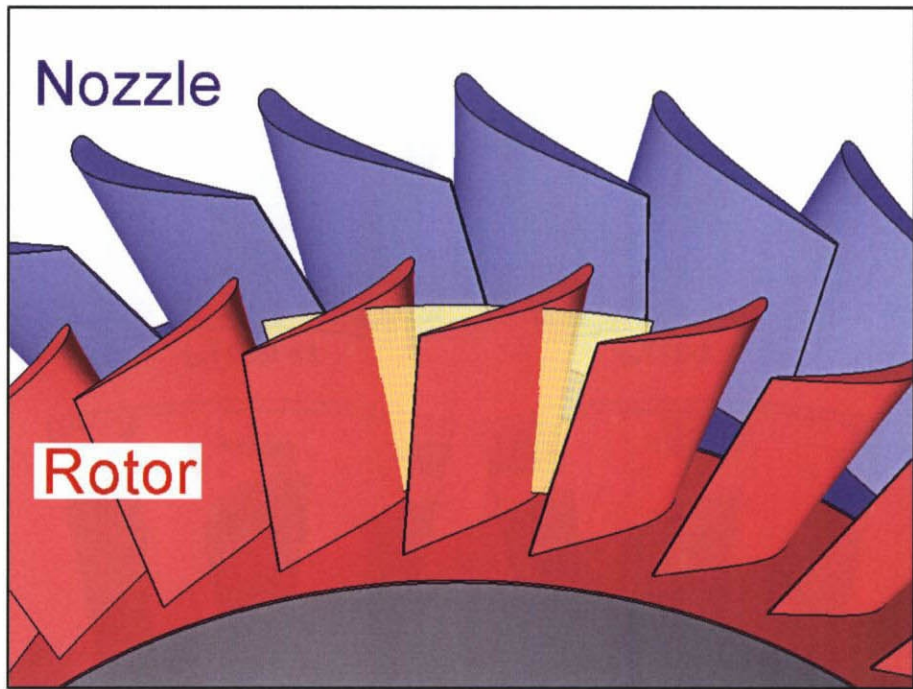
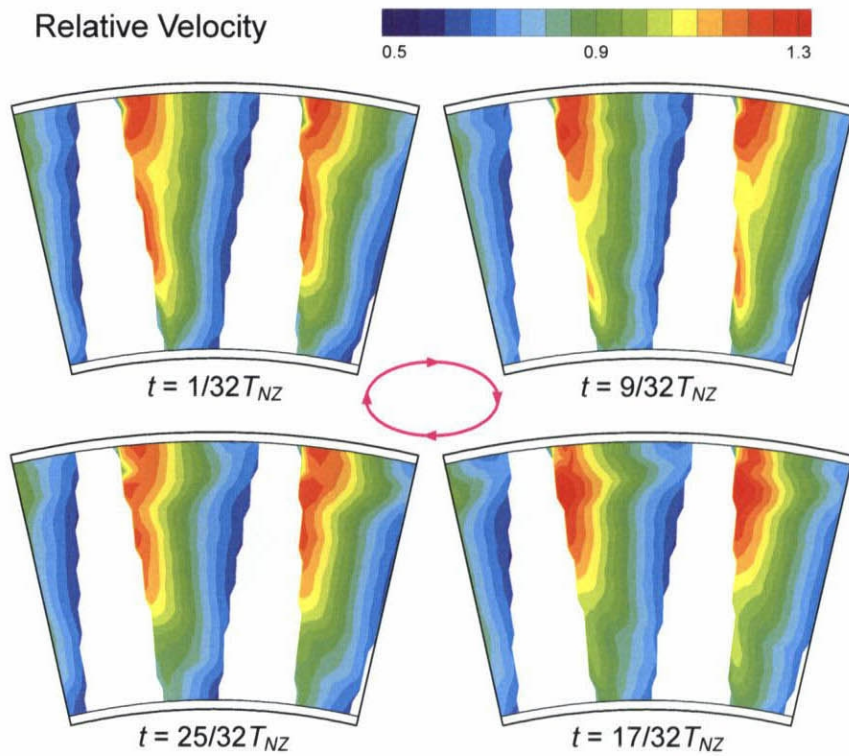


図 8.15 動翼内部の非定常流れ (相対座標系, その 2)
(測定面 21, 軸方向位置 $Z/C_{ax,RT} = 0.479$)



(a) 測定位置



(b) 相対速度 V_{Rel}/V_0

図 8.16 動翼内部の非定常流れ (相対座標系, その 1)
(測定面 23, 軸方向位置 $Z/C_{ax,RT} = 0.577$)

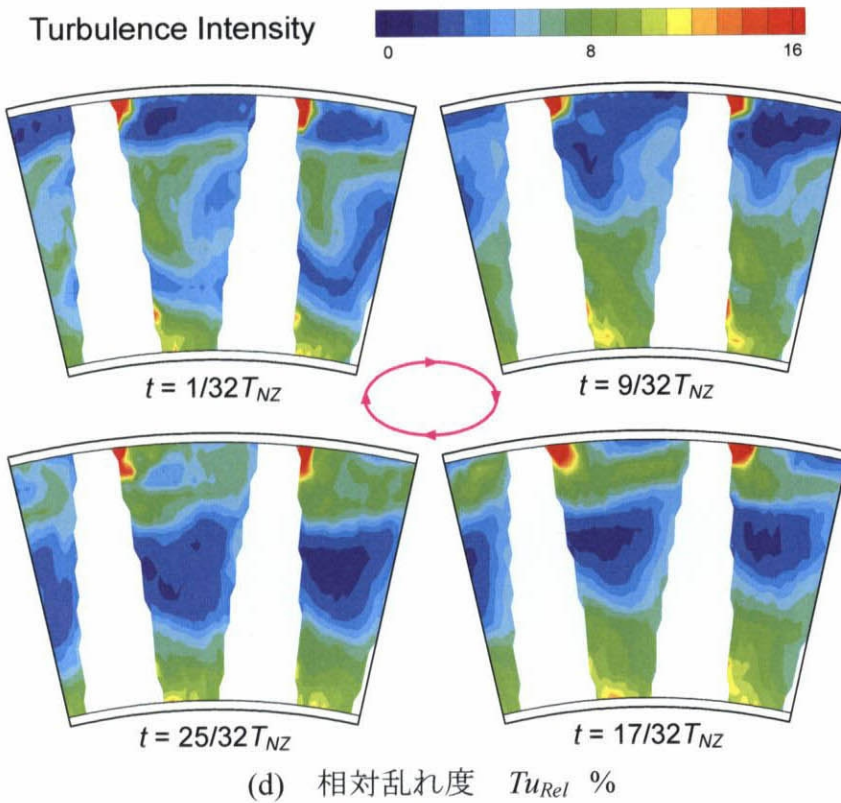
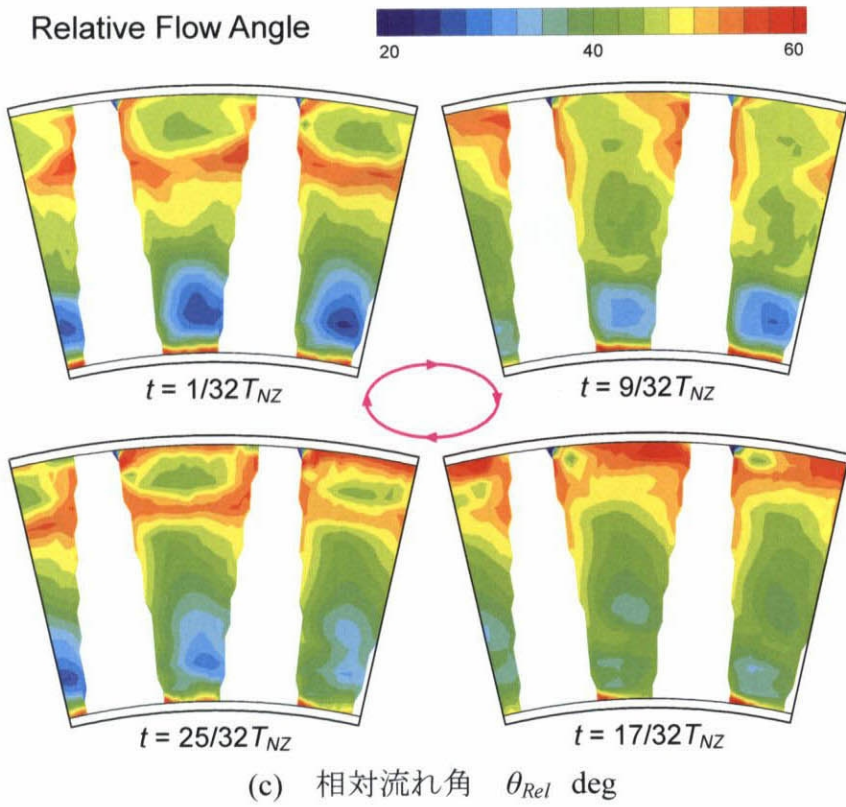
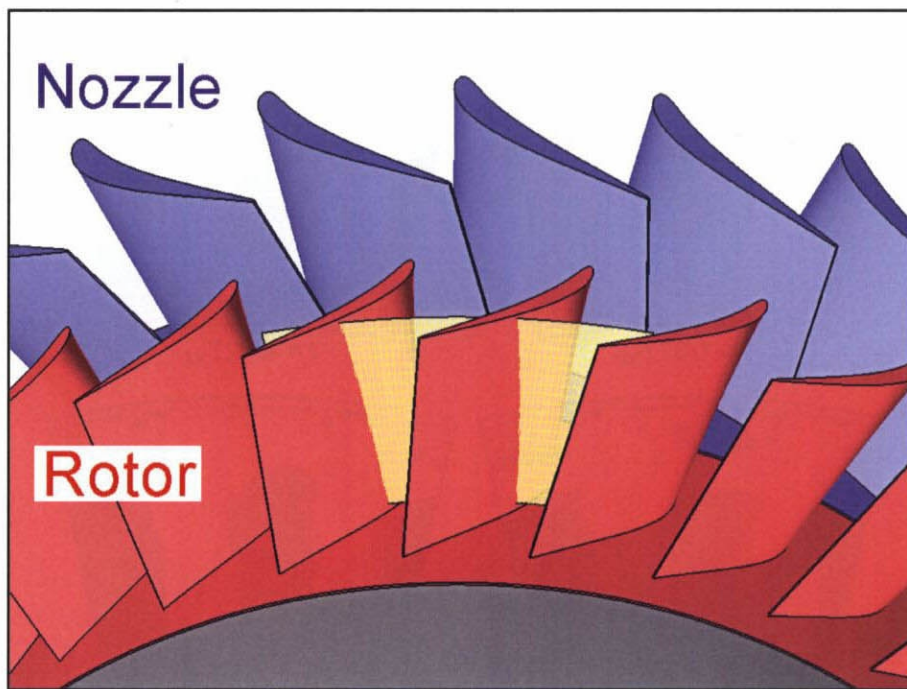
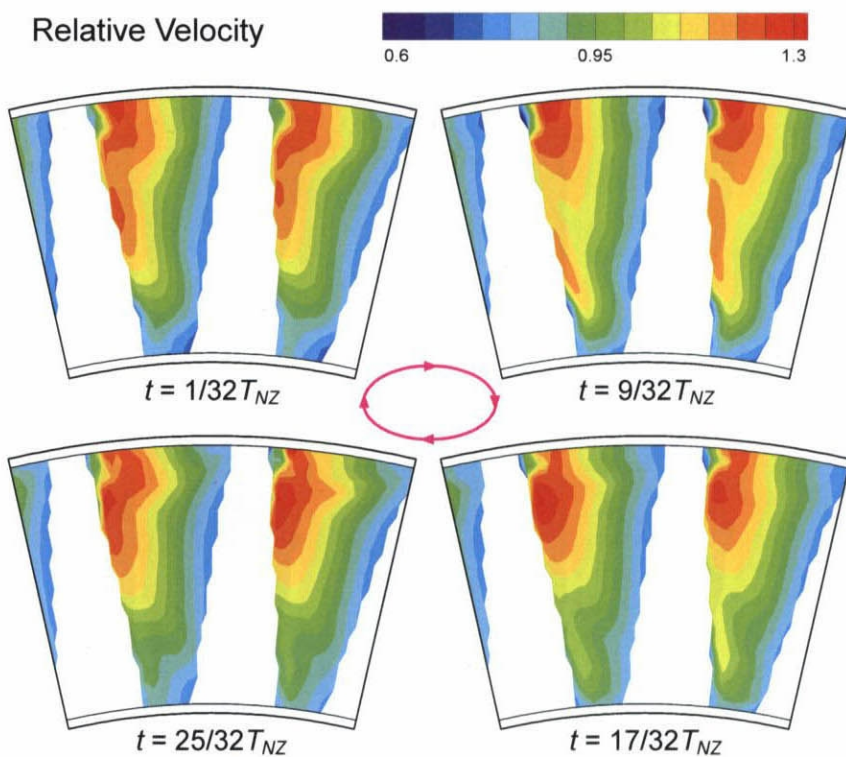


図 8.16 動翼内部の非定常流れ (相対座標系, その 2)
(測定面 23, 軸方向位置 $Z/C_{ax,RT}=0.577$)



(a) 測定位置



(b) 相対速度 V_{Rel}/V_6

図 8.17 動翼内部の非定常流れ (相対座標系, その 1)
(測定面 25, 軸方向位置 $Z/C_{ax,RT} = 0.675$)

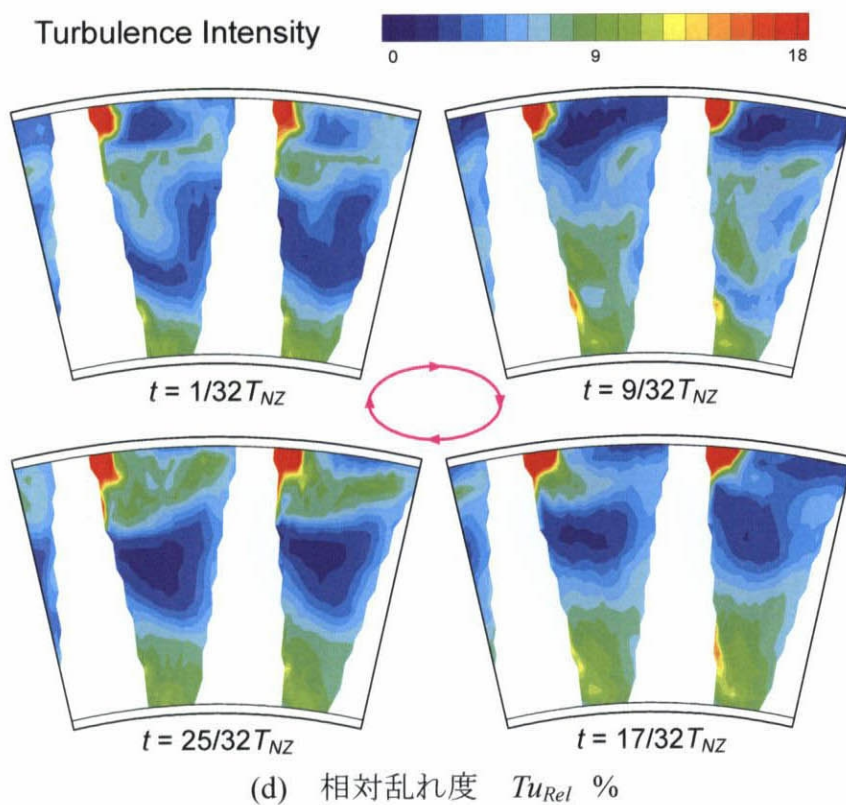
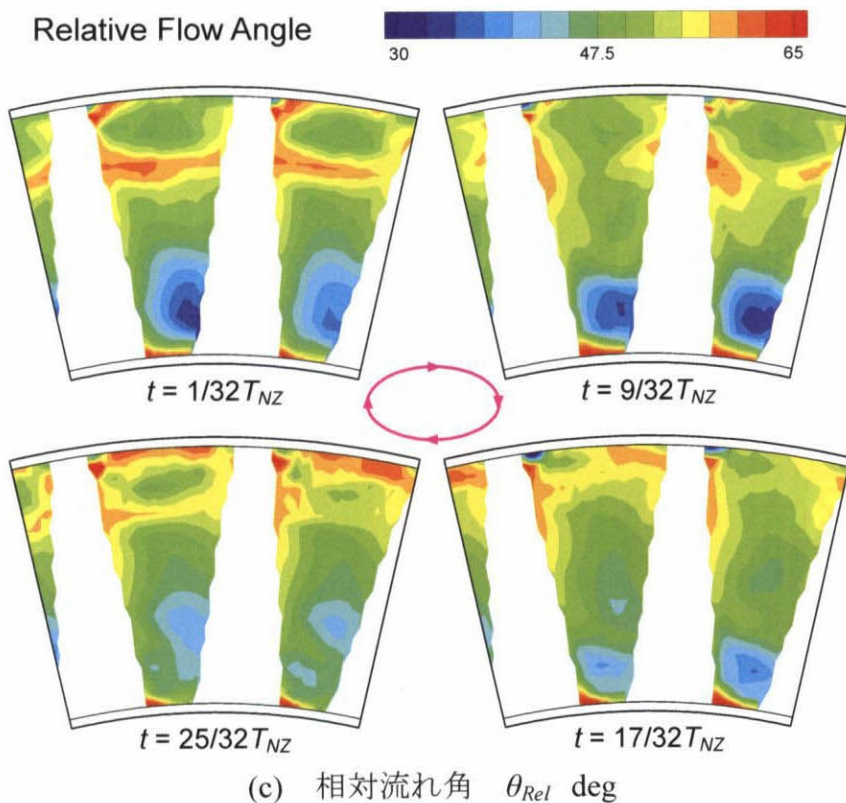
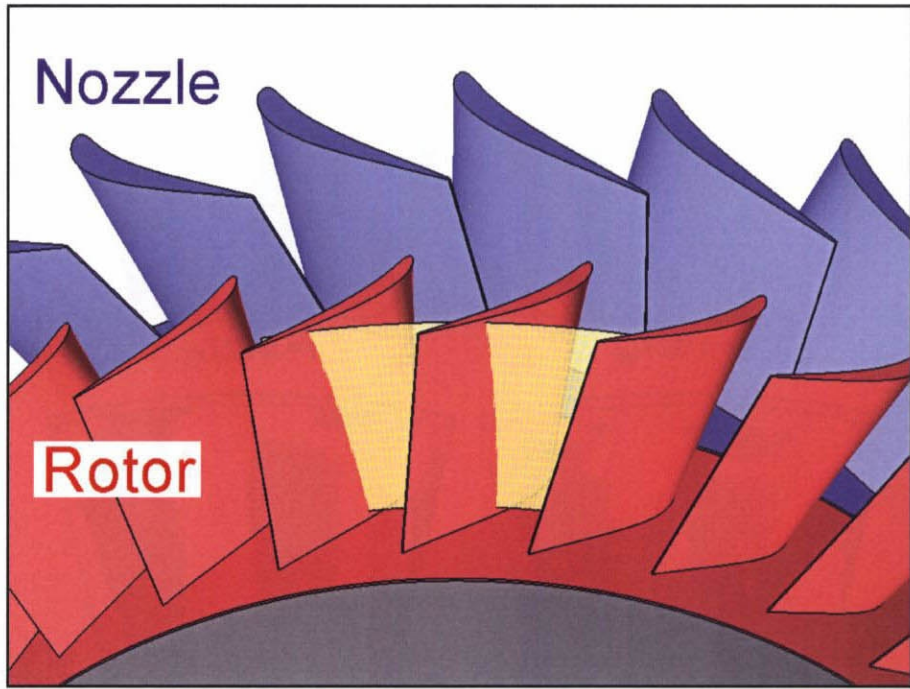
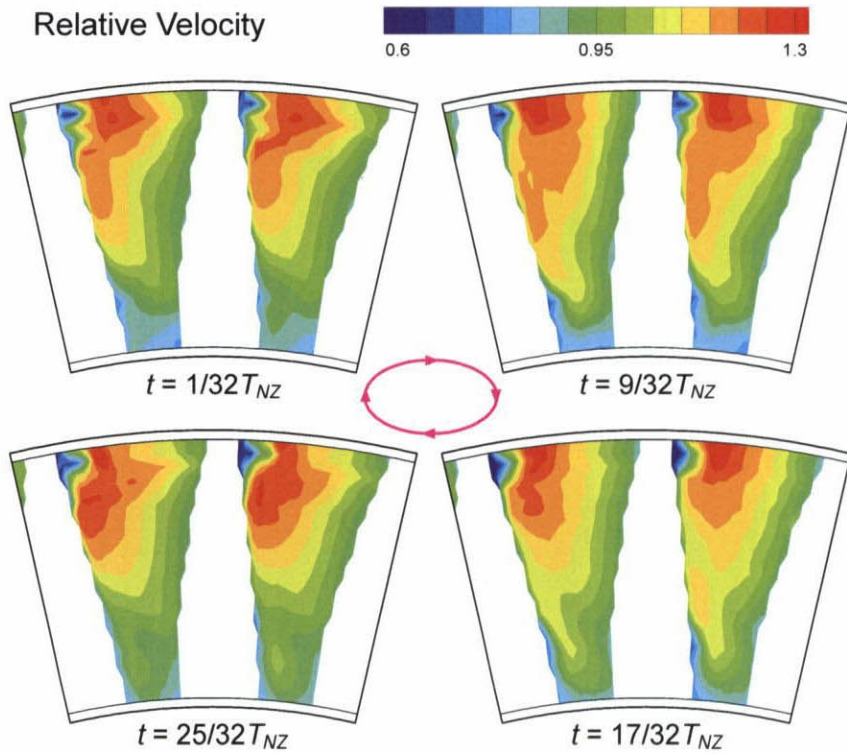


図 8.17 動翼内部の非定常流れ (相対座標系, その2)
(測定面 25, 軸方向位置 $Z/C_{ax,RT} = 0.675$)



(a) 測定位置



(b) 相対速度 V_{Rel}/V_6

図 8.18 動翼内部の非定常流れ (相対座標系, その1)
(測定面 27, 軸方向位置 $Z/C_{ax,RT} = 0.773$)

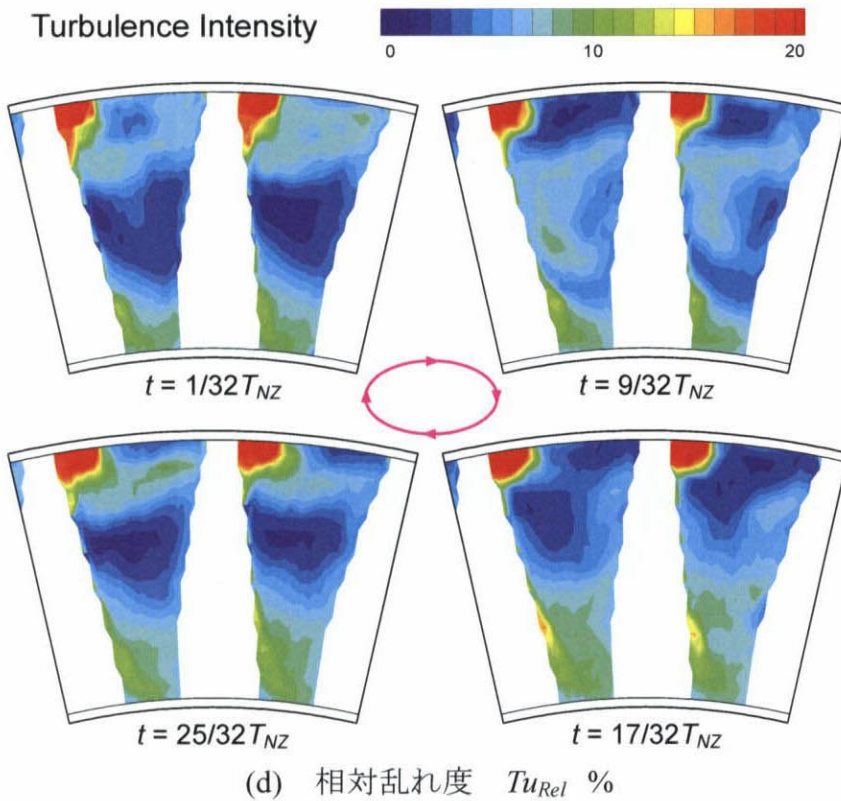
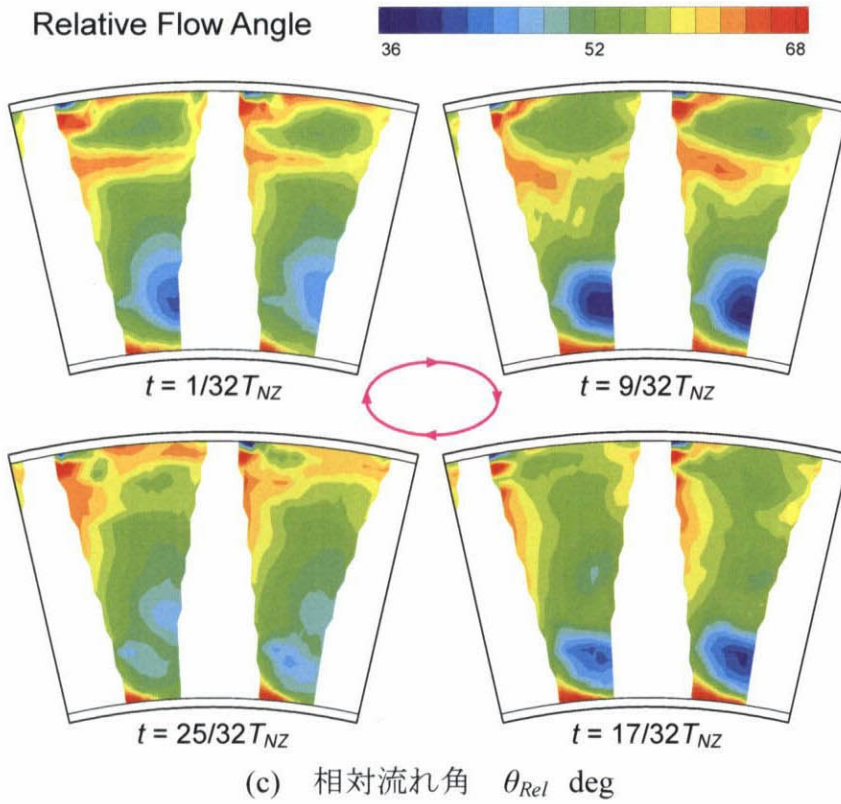
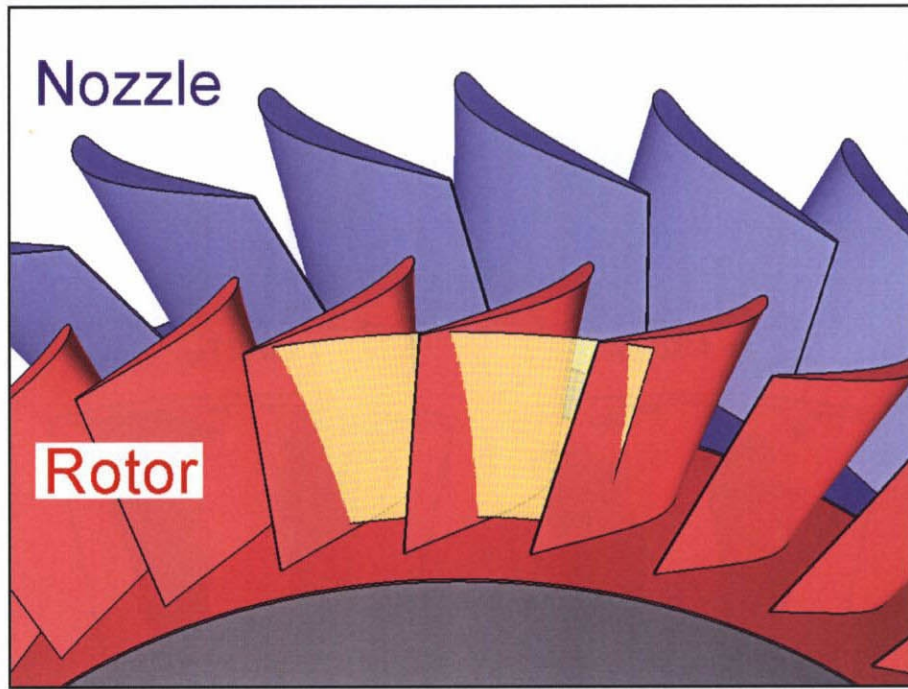
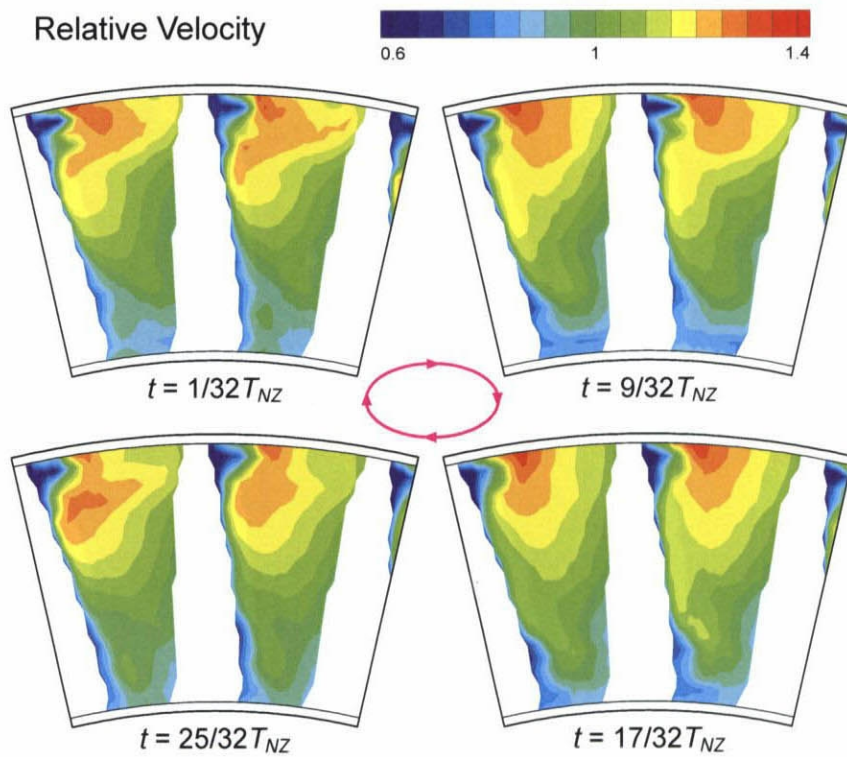


図 8.18 動翼内部の非定常流れ (相対座標系, その 2)
(測定面 27, 軸方向位置 $Z/C_{ax,RT}=0.773$)

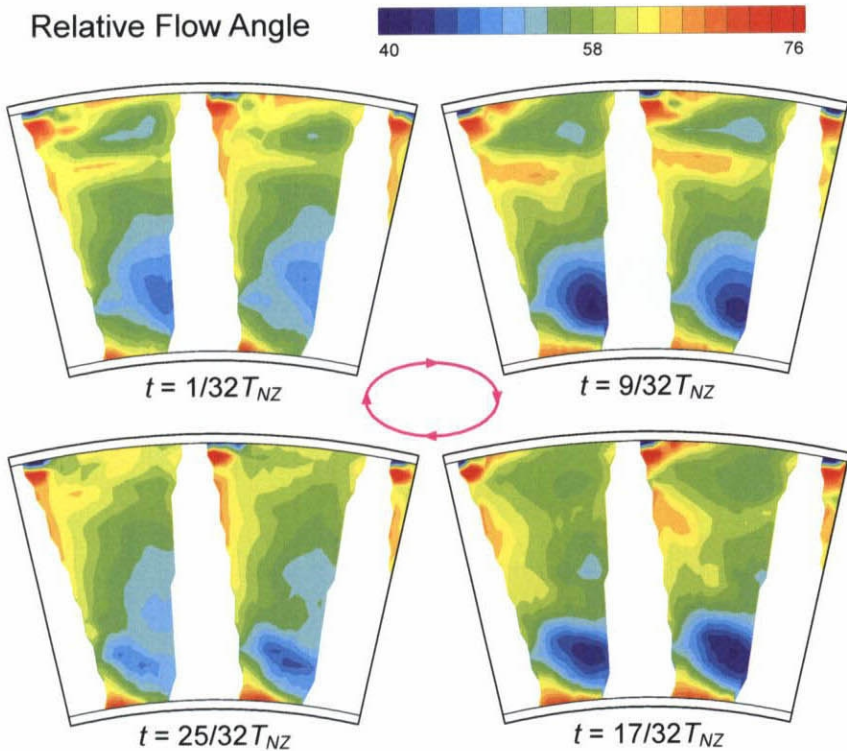


(a) 測定位置

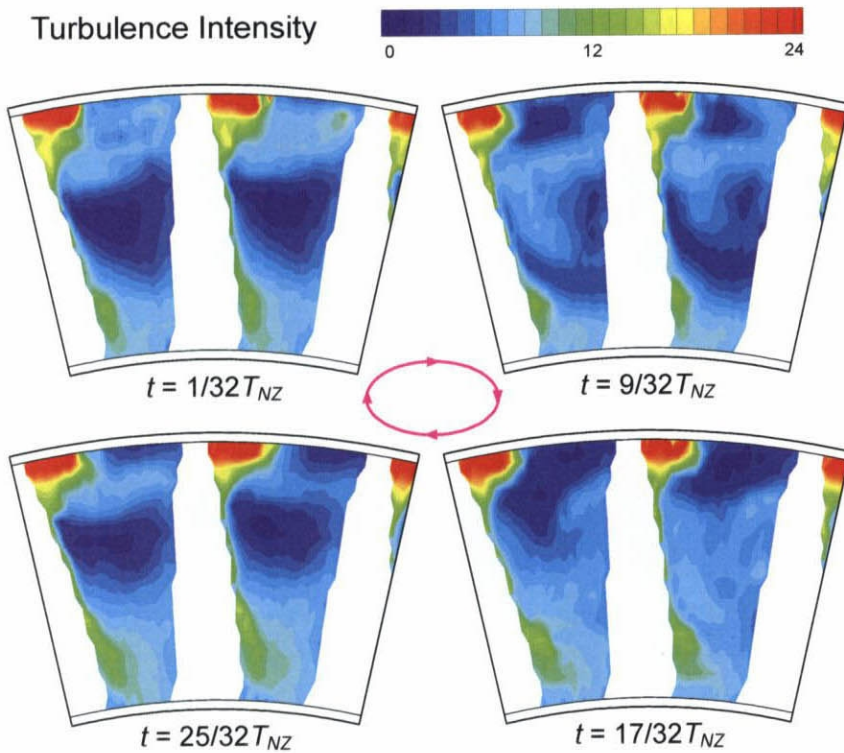


(b) 相対速度 V_{Rel}/V_0

図 8.19 動翼内部の非定常流れ (相対座標系, その1)
(測定面 29, 軸方向位置 $Z/C_{ax,RT} = 0.870$)

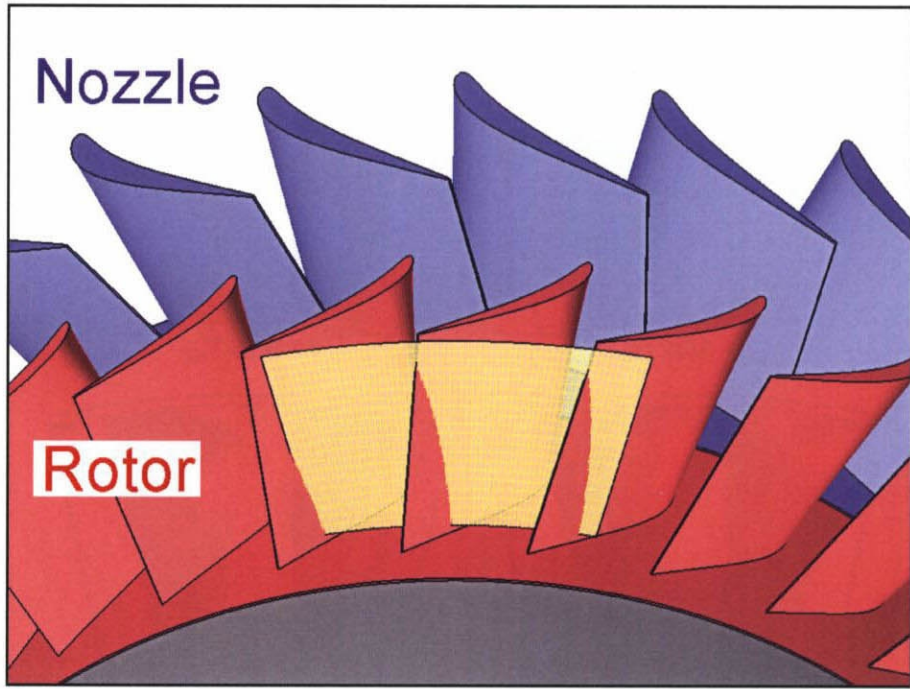


(c) 相対流れ角 θ_{Rel} deg

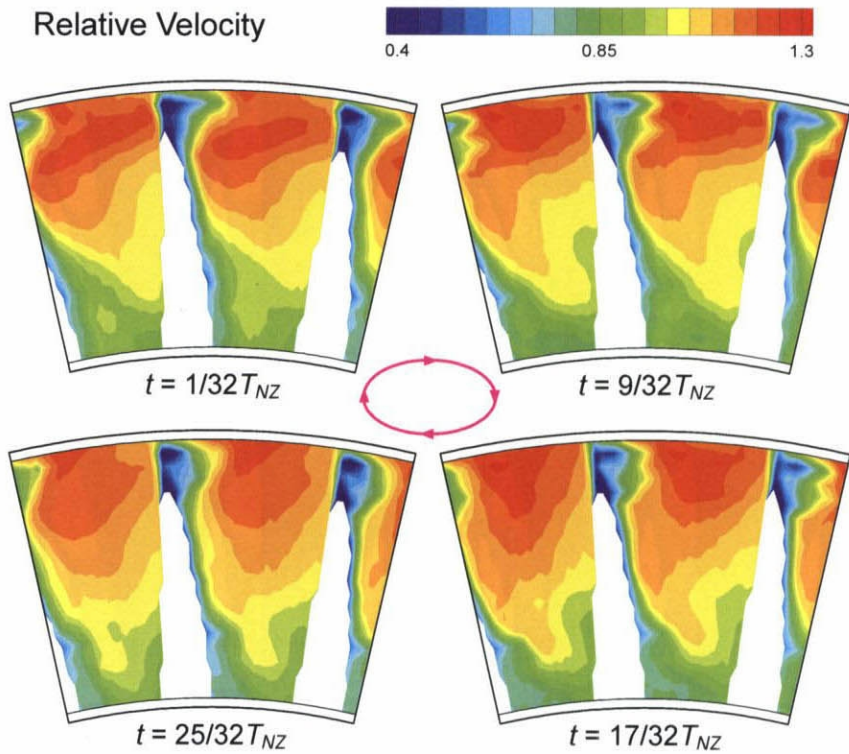


(d) 相対乱れ度 Tu_{Rel} %

図 8.19 動翼内部の非定常流れ (相対座標系, その2)
(測定面 29, 軸方向位置 $Z/C_{ax,RT}=0.870$)



(a) 測定位置



(b) 相対速度 V_{Rel}/V_6

図 8.20 動翼内部の非定常流れ (相対座標系, その1)
(測定面 31, 軸方向位置 $Z/C_{ax,RT}=0.968$)

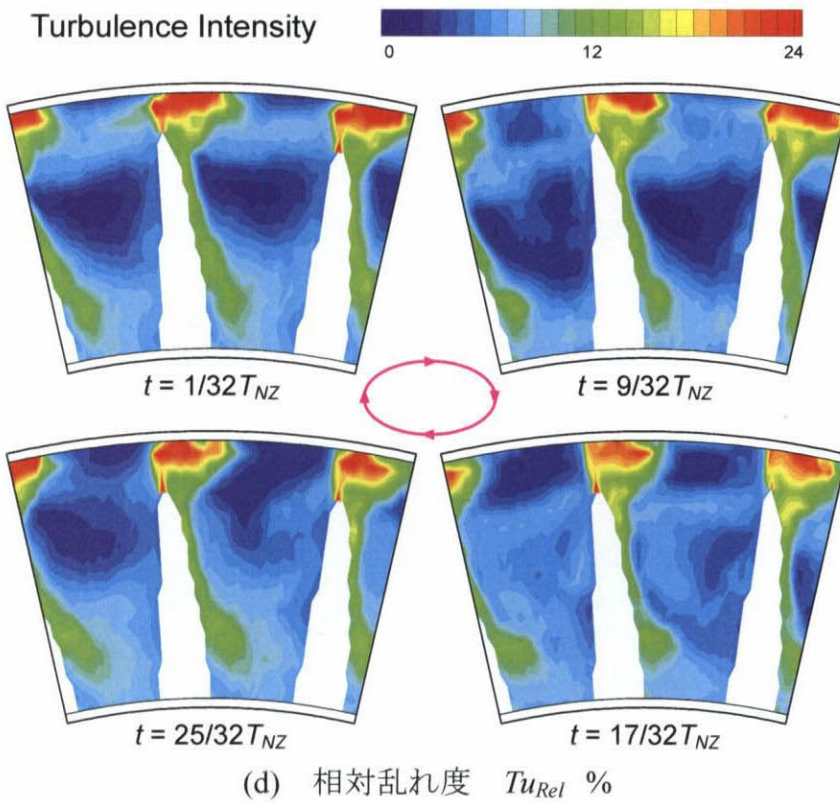
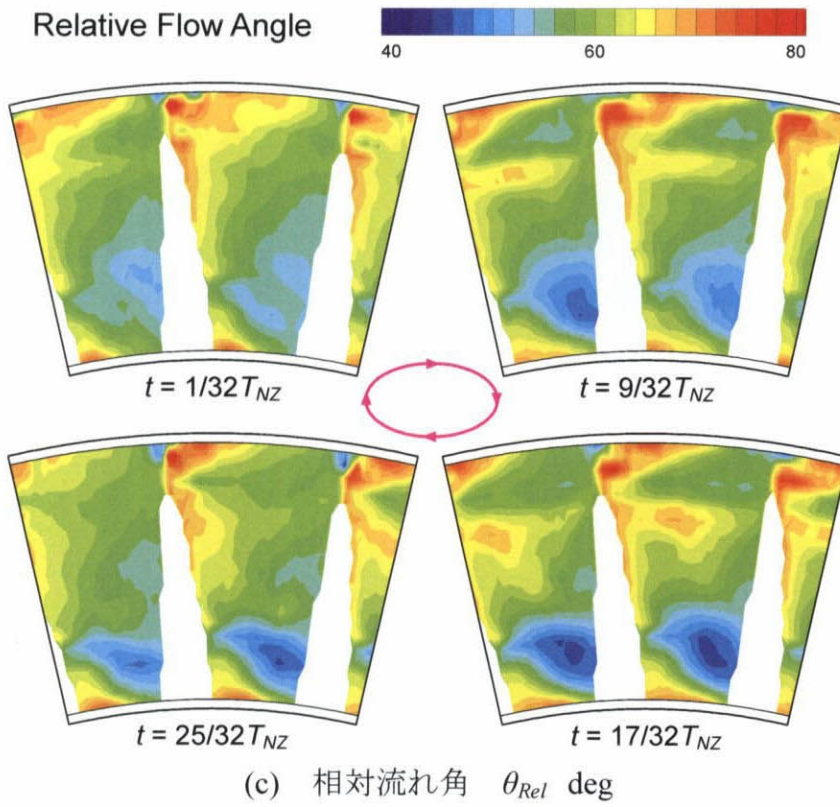


図 8.20 動翼内部の非定常流れ (相対座標系, その 2)
(測定面 31, 軸方向位置 $Z/C_{ax,RT} = 0.968$)